

文 献

- 1) 藤井: 鉄と鋼, 45 (1959), p. 1248
- 2) 藤井: 鉄と鋼, 46 (1960), p. 12
- 3) 藤井, 浦: 鉄と鋼, 48 (1962), p. 407

~~669,184,244,66 : 669,046,564~~

~~: 669,784 : 669,012,1-52~~

(55) “脱炭モデル”をもとにした転

炉制御方式の開発

(転炉への計算制御に関する研究—II)

住友金属工業, 和歌山製鉄所

理博 藤井毅彦・荒木泰治・○丸川雄淨
Development of the Control System in the Oxygen Process on the Basis of "The Decarburization Model".

(Study on the computing control to an oxygen converter—II)

Dr. Takehiko FUJII, Taiji ARAKI
and Katsukiyo MARUKAWA.

1. 緒 言

前報において、実験炉、平炉、転炉の脱炭反応機構を基礎的理論にもとづいて検討し、特に転炉の吹鍊にたいして、脱炭状況の違いにより、吹鍊を3つに区分するところの脱炭モデルをつくることができた。本論文においては、この脱炭モデルをもとに転炉の新しい計算制御方法を開発し、実際の転炉において検討を加えたので、その結果について報告する。

2. 脱炭モデル方式について

Fig. 1 に転炉の脱炭モデルをしめす。この脱炭モデルにより、転炉の吹鍊は、3つの吹鍊期に分けられ、各吹鍊期はつきのような数式によつてあらわされる。

第I吹鍊期 $-dc/dt = k_1 t$ k_1, k_2, k_3 : 定数第II吹鍊期 $-dc/dt = k_2 Q$ Q : 酸素流量第III吹鍊期 $-dc/dt = k_3 C$ C : 鋼浴炭素濃度

これにより、吹鍊前か、もしくは、吹鍊途中での溶鋼中炭素量がわかれば、それ以後のいかなる時点の鋼浴炭素濃度も計算できる。ただし、この計算に先だち、それぞれの吹鍊条件に対して、3つの定数 k_1, k_2, k_3 を定めなければならない。この3つの定数は、つきのような性格をもち、つきのようにして求められる。

k_1 : これは Fig. 1 の第I吹鍊期の時間に対する上り勾配にあたる。したがつて第I吹鍊の時間 (time AB) と第II吹鍊期の脱炭速度値 ($(-dc/dt)_{\max}$) によつて求められる。

$$k_1 = (-dc/dt)_{\max} / \text{time AB}$$

k_2 : これは第II吹鍊期の酸素効率によつて定まる。

k_3 : これは Fig. 1 の第III吹鍊期の下り勾配にあたる。したがつて、第III吹鍊期開始の時点(D点)の鋼浴炭素濃度(C_D %)と第II吹鍊期の脱炭速度値 ($(-dc/dt)_{\max}$) によつて求められる。

$$k_3 = (-dc/dt)_{\max} / C_D$$

以上より、 k_1, k_2, k_3 の値を定めるには、第I吹鍊期の時間 (time AB) と第II吹鍊期の酸素効率とD点の鋼浴炭

素濃度の3つを定めればよい。そして、これにより、脱炭モデルが完成されたといえる。この3つの値 (time AB, 第II吹鍊期の酸素効率, C_D %) が脱炭モデルの管理ポイントとなる。したがつて、前もつてこの3つの管理ポイントを定めて吹鍊時間を計算することになれば、それはスタティック・コントロールになり、この3つの管理ポイントを排ガスによる脱炭速度の連続測定によつて、吹鍊中に決定すれば、ダイナミックコントロールが可能となる。

3. 脱炭モデル方式による炭素濃度の
スタティック・コントロール

スタティック・コントロールによる吹鍊時間の計算方法をつぎに示す。

まず Fig. 1 に示したD点までの吹鍊時間を計算するにつきの式で求められる。

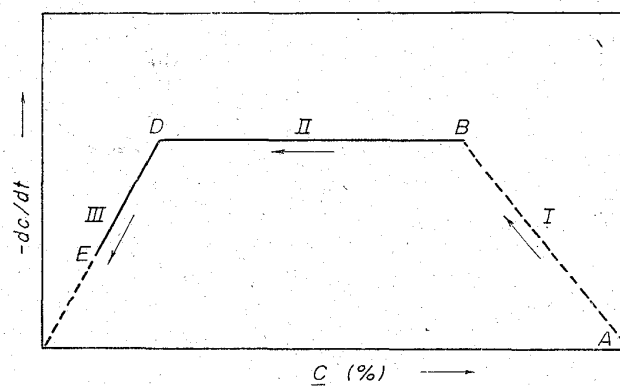


Fig. 1. Decarburization model.

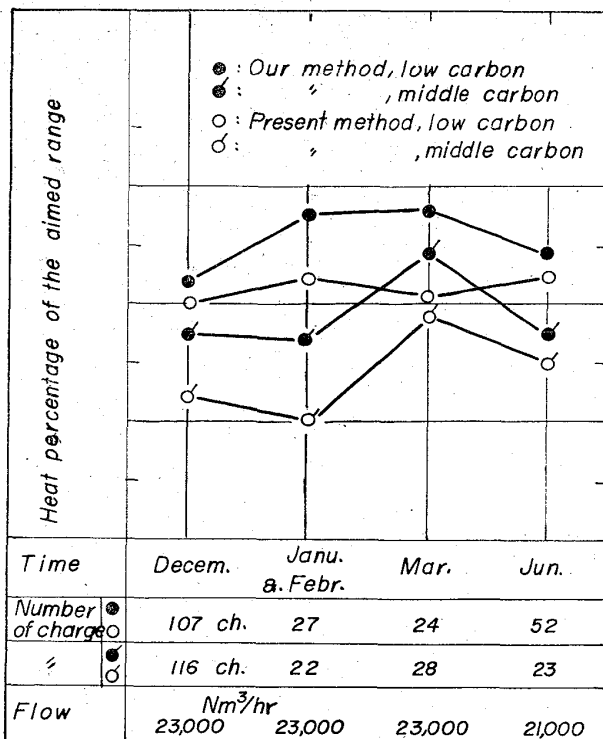


Fig. 2. Changes of the results of carbon control and difference between our method and present method.

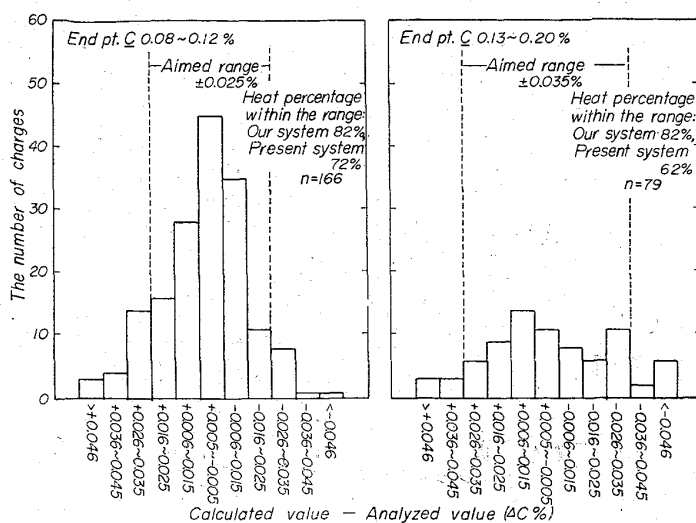


Fig. 3. Heat percentage with in the range of the dynamic control on the basis of “the decarburization model”.

$$\text{time } \overline{AD} = \frac{C_{in} - C_D(W_{in} - \alpha)}{(-dc/dt)_{max}} + \frac{1}{2} \text{ time } \overline{AB} \quad \dots(1)$$

ただし $\text{time } \overline{AD}$: A～Dに到る吹鍊時間 (min)

C_{in} : 装入炭素重量 (t)

C_D : D点の鋼浴炭素濃度 (%)

W_{in} : 装入主原料重量 (t)

α : D点までの溶鋼の減少重量 (t)

第Ⅲ吹鍊期の計算は、次のようにして行なう。

$$-dc/dt = k_3 C \quad \dots(2)$$

$$k_3 = 100 \times (-dc/dt)_{max} / C_D(W_{in} - \alpha) \quad \dots(3)$$

(2)式を変形すると

$$-\int_{C_E}^{C_D} \frac{1}{c} dc = \int_{t_{AE}}^{t_{AD}} k_3 dt \quad \dots(4)$$

$$\text{よつて } t_{AE} = (\ln C_D - \ln C_E) / k_3 + t_{AD} \quad \dots(5)$$

(5)式に(1)式および(3)式を代入すると目標炭素濃度 (C_E) にするための全吹鍊時間 (t_{AE}) が求められる。

以上のようにして、脱炭モデルの3つの管理ポイントの値が定まれば、スタティック・コントロールができる。

以上のようにして計算した結果を、実操業の適中率と対比させて、推移を示したのが Fig. 2 である。ただし、この適中率は、終点炭素濃度 0.05% のとき、±0.02%; 0.15% のとき ±0.03% を的中範囲とした。これを見て、装入炭素量計算の大きな誤差が入っているにもかかわらず、この脱炭モデル方式のスタティック・コントロールは、かなり適中率が良好で有望であることがわかる。

4. 脱炭モデル方式による鋼浴炭素濃度のダイナミック・コントロール

脱炭モデル方式による、終点鋼浴炭素濃度のダイナミック・コントロールは、前述した脱炭モデル方式の3つの管理ポイントのそれぞれに対応して、3つの方法が考えられる。このダイナミックの方法をつぎに示す。

第Ⅰ法: 第Ⅰ吹鍊時間($\text{time } \overline{AB}$)の変動の補正の方法

予定 $\text{time } \overline{AB}$ と脱炭速度チャートからの実測 $\text{time } \overline{AB}$ とを比較し、差が生じれば、それに従い予定吹鍊時間を補正する。

第Ⅱ法: 最高脱炭速度値 ($(-dc/dt)_{max}$) の変動の補正の方法

これによる補正は、予定酸素流量のバラツキや、大きな酸素純度の低下が推察される。

第Ⅲ法: D点に到るまでの所要時間 ($\text{time } \overline{AD}$) の変動の補正の方法

この $\text{time } \overline{AD}$ は、スタティック・コントロールにより、あらかじめ計算できるが、その計算された時間と実測された時間とを比較すると、その後の吹鍊時間が適正なものに補正できる。

以上が、脱炭モデル方式によるダイナミック・コントロールの3つの方法の原理である。上の第Ⅱ法は、現在までの実際の転炉における計測精度から、脱炭速度チャートの絶対値に、いま少し信頼度が欠けるので、ここでは一応保留にしておく。これに対し、第Ⅰ法と第Ⅲ法は、その管理ポイントが脱炭速度チャートの絶対値ではなくて、相対値にあるので、第Ⅱ法にくらべ有利である。ただこのうちの第Ⅰ法のほうは、その計算過程に誤差の多い装入炭素量を含んでおり、しかも吹鍊後半のチャージ特性を補正することができない。したがつて、現在脱炭モデル方式による3つのダイナミック・コントロールのうち、最も有望なものは、第Ⅲ法である。この第Ⅲ法による適用結果を Fig. 3 に示す。現場的的中率と比較すると、低炭素鋼では、現場的中率が、72% に対して 82%，中炭素鋼では、62% に対して 82% とますますの結果である。今後排ガス測定の機構ならびに精度の向上を行なえば、もつと良い的中が可能と考えられる。

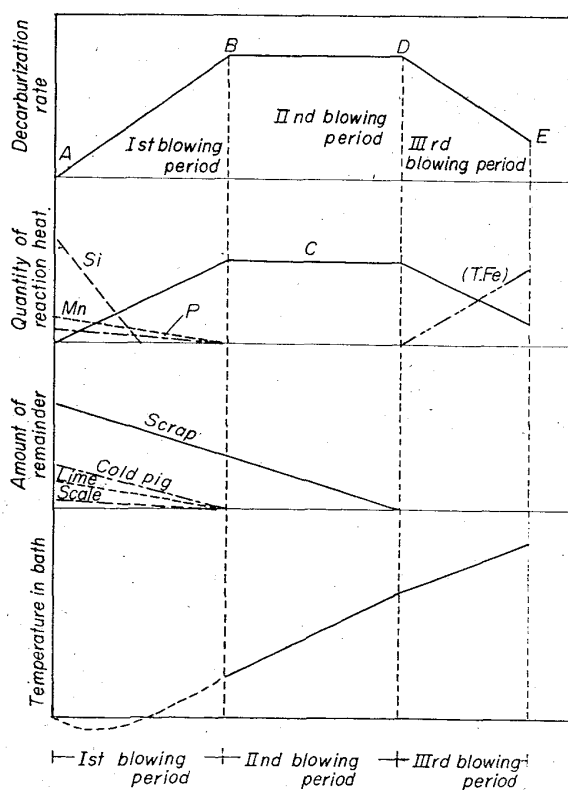


Fig. 4. Correspondence of “the decarburization model” with “the temperature model”.

5. 脱炭モデルをもとにした温度モデル

転炉操業の吹鍊においてコントロールしなければならぬ主たるものは、炭素濃度と鋼浴温度の2つである。この2つが、同時にコントロールされてはじめて有効な、吹鍊のコントロールとなる。この温度コントロールを行なうには、まず浴温上昇のメカニズムを正しく把握することが必要である。この吹鍊過程における浴温上昇のメカニズムを脱炭モデルの考え方を基にして検討してみた。すなわち、製鋼炉内における種々の反応は、脱炭反応との密接な関連において進行するのであるから、反応熱によつて浴温上昇が進行する転炉等においては、脱炭反応のメカニズムを把握することが、浴温上昇のメカニズムを把握することにつながる。したがつて、脱炭モデルの各吹鍊期に対応して温度モデルをつくり、昇熱状況を明らかにすることができます。これらの関係をFig. 4に示す。これより、途中炉内の浴温測定を行なうことによつて、温度モデルをもとにした鋼浴温度のダイナミック・コントロールも容易に可能となる。

6. 結 言

前報において、転炉の吹鍊を脱炭状況の違いにより、3つに区分するところの脱炭モデルをつくつた。この脱炭モデルをもとにして、転炉の新しい制御方法を開発した。すなわち、鋼浴炭素濃度のスタティク・コントロールならびにダイナミック・コントロールの方法を脱炭モデルをもとにしてつくつた。また、脱炭モデルをもとにして、鋼浴温度の昇熱状況を把握できる温度モデルを考えた。これらにより、転炉操業に計算制御を導入するための、ソフトウェアの開発を、大体において完成することができる。

~~669,184,244,66:667,094,527~~

(56) 酸素上吹転炉における気化脱硫について

東海製鉄 森田 和・有賀 昭三

大西保之・千原園典・○竹村洋三

Removal of Sulphur with Gases in LD Converter.

Yawara MORITA, Syōzō ARIGA,
Yasuyuki ŌNISHI, Kunisuke CHIHARA
and Yōzō TAKEMURA.

1. 緒 言

酸素上吹転炉における脱硫反応としては、スラグによる脱硫と、気相による脱硫の2つの反応が考えられる。スラグによる脱硫反応としては相当多数の研究報告が出されているが、気相による脱硫については不明な点が多い。転炉における物質収支を行なつた結果では排ガス中の SO_2 含有量は 1 ppm と非常に低い値を示したので、気化脱硫されたものは大部分集塵水、ダストに収取されているものと考えて、気相脱硫についての調査検討を行なつたので、その結果を報告する。

2. 調査方法

集塵処理水のサンプリングにあたつては、サンプリング前 1hr 吹鍊を中断して、シックナー内の

処理水(3000 t)を消石灰を用いて pH 8 程度に調整した。その後吹鍊を行ない第1集塵機および第2集塵機の廃水配管より、それぞれ分析試料を採集した。分析試料は吹鍊開始後 20 min までは毎分 1 l, 20~25 min までは 30 sec 毎に 2 l である。なお炉口からサンプリング場所までのタイムラグは約 30 sec である。

3. 調査結果

3.1 吹鍊条件と吹鍊結果

気化脱硫の調査を行なつたチャージの吹鍊条件と吹鍊結果を Table 1 に示す。

3.2 ダスト発生量

ダスト発生量と吹鍊時間の関係については、Fig. 1 に示すが、ダスト発生量は 5 min 頃に最大のピークを示しその後、漸次減少していく傾向にある。一回の吹鍊で発生するダスト量を Table 2 に示す。(なお第一集塵機のことを No. 1 D.C., 第2集塵機のことを No. 2 D.C. と表わす。)

3.3 吹鍊時間によるダスト中硫黄含有量の変化

吹鍊時間によるダスト中 S の変化は、Fig. 2 に示す通りで、吹鍊開始後 20 min ぐらいまではダスト中 S は 0.14% 程度で変化はないが、20 min 以後は急激な S の上昇が見られる。ダスト中に除去された S 量は Table 3 に示す。

Table 1. Blowing condition and results.

H. M. Weight	117.6 t	Blowing time	24.7 min
Scrap	37.2 t	Cleaning water consumption	No. 1 7.38 t/min
Charge	154.8 t	"	No. 2 10.9 t/min
P.R.	76%	S content of H. M.	0.034%
O ₂ consumption	7530 Nm ³	S content of end point	0.026%

Table 2. Dust weight.

	Dust min wt% of drain	Dust weight (kg/ch)
No. 1 D.C.	0.409%	755 kg (0.409×7.38) $\times 25 \times 10$
No. 2 D.C.	0.236%	647 kg (0.236×10.9) $\times 25 \times 10$
Total		1402 kg

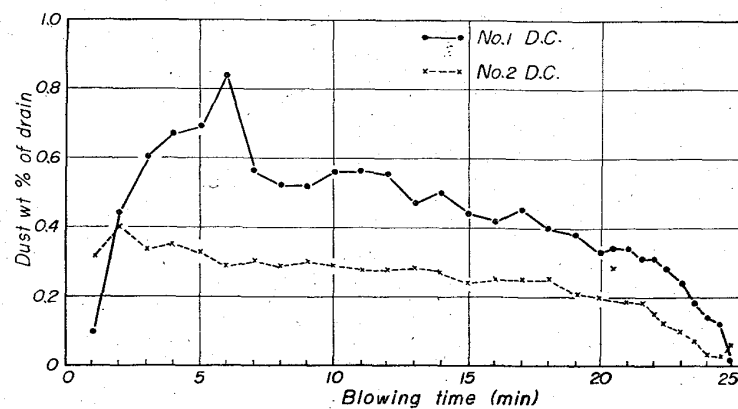


Fig. 1. Relation between blowing time and dust wt% of drain.